

高等学校教學用書

諧振系統放大器  
與諧振放

下册

A. A. 柯洛索夫著

高等教學出版社

本書系根据苏联国立邮电書籍出版社(Государственное издательство литературы по вопросам связи и радио)1949年出版的柯洛索夫(A. A. Колесов)著的“諧振系統与諧振放大器”(Резонансные системы и ревонансные усилители)譯出的。原書經苏联高等教育部审定为高等工業学校教学参考書。

本書是以無綫電接收課程中的材料为基础的。本書的目的是根据現代無綫電接收技术最迫切需要解决的問題來研究諧振系統与諧振放大器。同时还談及一些現有書籍中沒有詳細說明的問題。

本書中譯本分上下兩冊出版。全書共分八部分，下册包括第五部分至第八部分。第五部分是关于諧振放大器；第六部分敘述寬頻常的中頻調諧放大器；第七部分是陰極接地和陽極接地的超音頻放大器的理論和計算；第八部分敘述在考慮到实际綫路損失的情况下屏蔽迴路和屏蔽迴路的設計。

本書中譯本下册第十九章至第二十一章是关定华翻譯的；第二十一章至二十四章是陈成全翻譯的；第二十五章至第二十九章是彭澤民翻譯的；第三十章至第三十四章是鍾任华翻譯的。全書曾經清华大学常過教授校訂。

## 諧振系統与諧振放大器

下册

A. A. 柯 洛 索 夫 著

关定华 陳成全 彭澤民 鍾任华譯

高等 教育 出 版 社 出 版 北京琉璃廠170号

(北京市書刊出版業營業許可證出字第054号)

京华印書局印刷 新华書店總經售

統一書號15010·550 開本850×1168 1/16 印張7 10/16 字數187,000 印數0001—2,000  
1957年11月第1版 1957年11月北京第1次印刷 定價(10) 1.20

# 下冊 目錄

## 第五部分 沒有反饋的和有反饋的諧振放大器

第十九章 放大電子管	225
19.1. 引言	225
19.2. 基本关系式的推演	225
19.3. 电子的加速度、速度与位置	227
19.4. 恒定电場时的方程式	228
19.5. 电子在二極管中的飞越时间	229
19.6. 二極管的板極电流及其特性曲綫的斜率(二極管的互導)	230
19.7. 三極管的电参数与其結構数据的关系	232
19.8. 多極電子管	236
19.9. 电子管的相似定理	238
19.10. 对放大電子管的要求	239
第二十章 分析放大線路的一般方法	241
20.1. 引言	241
20.2. 等效的电动勢發生器与电流發生器	242
20.3. 用节点电压法推演出特性方程式	245
20.4. 陰極接地放大器的输入阻抗与输入导納	246
20.5. 陰極接地电子管的放大量	249
20.6. 根据有源四端網絡方法对陰極接地放大器的分析	249
20.7. 擬極接地电子管的有源四端網絡的分析	251
第二十一章 單迴路諧振放大器	253
21.1. 引言	253
21.2. 回路直接接在电子管板極电路中的放大器	253
21.3. 并联饋电的放大器	257
21.4. 自耦变压器耦合的綫路	258
21.5. 板極方面用自耦变压器联接的綫路	260
21.6. 板極与擬極方面都用自耦变压器联接的綫路	261
21.7. 变压器耦合放大器	261
21.8. 变压器耦合放大器中耦合数值的选择	263
第二十二章 帶有反饋的系統	265
22.1. 引言	265
22.2. 反饋放大器的放大量	266
22.3. 反饋对放大系数变动的影响	267

22.4. 反饋对于諧振放大器選擇性的影响 .....	268
22.5. 反饋放大器中的訊号噪声比 .....	270
22.6. 回归差 .....	273
22.7. 特性方程式的穩定度和根 .....	276
22.8. 古爾維茲準則 .....	277
22.9. 复变函数理論中的一些原理 .....	278
22.10. 有反饋的系統的穩定度 .....	280
22.11. 絶對穩定和有条件的穩定 .....	284
22.12. 絶對稳定的准則 .....	285

### 第二十三章 多級諧振放大器中的寄生反饋..... 287

23.1. 引言 .....	287
23.2. 不考慮反饋作用時，多級放大器的放大量、選擇性和通頻帶 .....	287
23.3. 寄生反饋的种类 .....	289
23.4. 經過電容 $C_{ab}$ 的反饋單級放大器的穩定條件 .....	291
23.5. $n$ 級放大器的特性方程式組的行列式 .....	295
23.6. 多級放大器絕對穩定的條件 .....	297
23.7. 極限的穩定放大系数 .....	300
23.8. 經過公共的供电电源的寄生反饋-三級放大器 .....	303
23.9. $n$ 級放大器中經過公共供电电源的寄生反饋 .....	307

### 第二十四章 双迴路中頻頻帶放大器..... 310

24.1. 引言 .....	310
24.2. 双迴路放大器的綫路圖 .....	310
24.3. 双迴路放大器的基本关系式 .....	311
24.4. 双迴路放大器中的反饋 .....	314
24.5. 多級的双迴路放大器 .....	315

## 第六部分 寬頻帶放大器

### 第二十五章 寬頻帶的中頻諧振放大器..... 317

25.1. 引言 .....	317
25.2. 遷路直接接在板極電路中的寬頻帶放大器 .....	319
25.3. 自耦變壓器耦合的綫路圖 .....	322
25.4. 多級放大器 .....	323
25.5. 保證使各級都調諧到諧振的寬頻帶放大器達到最大放大量的最佳級數 .....	325
25.6. 放大器最大可能的通頻帶 .....	327

### 第二十六章 寬頻帶放大器的振幅-頻率特性曲線和 相位-頻率特性曲線..... 330

26.1. 引言 .....	330
26.2. 單迴路寬頻帶放大器的振幅-頻率特性曲線 .....	335
26.3. 損耗決定于分路電阻的放大器的振幅-頻率特性曲線 .....	331
26.4. 損耗決定于依頻率而變的分路的級的振幅-頻率特性曲線 .....	333

26. 5. 通頻帶的寬度 .....	335
26. 6. 相位-頻率特性曲綫.....	336
26. 7. 損耗取决于分路电阻的放大器的相位-頻率特性曲綫.....	337
26. 8. 損耗决定于依頻率而变的分路电阻的放大級的相位特性曲綫 .....	338
<b>第二十七章 多級選擇性系統的噪声頻帶 .....</b>	<b>339</b>
27. 1. 引言 .....	339
27. 2. $n$ 級單迴路寬頻帶放大器的噪声頻帶 .....	340
27. 3. 單迴路窄頻帶放大器的噪声頻帶 .....	341
27. 4. 級數無窮多的極限情況 .....	342
27. 5. 双迴路諧振放大器噪声頻帶的原始关系式 .....	343
27. 6. 双迴路寬頻帶放大器在最佳耦合情况下的噪声頻帶的計算結果 .....	344
27. 7. 双迴路寬頻帶放大器当耦合高于临界值时的噪声頻帶 .....	345
27. 8. 双迴路寬頻帶放大器在最佳耦合情况下的噪声頻帶 .....	346
27. 9. 在 $n$ 級單迴路諧振放大器的情况下噪声頻帶关系式的結論 .....	346
<b>第二十八章 通頻帶寬度和其他一些参数在运用情况下的 稳定度·迴路电容量的选择 .....</b>	<b>352</b>
28. 1. 引言 .....	352
28. 2. 电子管互导值的不一致对放大器工作的影响 .....	353
28. 3. 更換电子管对多級放大器的放大量影响 .....	354
28. 4. 更換电子管对多級放大器通頻帶寬度的影响 .....	359
<b>第二十九章 各級相互失諧的寬頻帶放大器和具有双迴路 濾波器的放大器 .....</b>	<b>363</b>
29. 1. 具有相互失諧的單迴路的放大器 .....	363
29. 2. 遵路对称失諧的放大器的最佳級數和最大可能的通頻帶寬度 .....	368
29. 3. 遵路相互失諧的放大器中因更換电子管所能容許的調諧偏移 .....	369
29. 4. 遵路相互失諧的放大器与迴路調諧到信号頻率的放大特性上 的比較 .....	373
29. 5. 双迴路的寬頻帶放大器 .....	376
29. 6. 双迴路寬頻帶放大器的最佳放大級數、最大可能的放大量和最大通頻帶 .....	378
29. 7. 电容偏移对双迴路放大器的通頻帶寬度的变化的影响 .....	378
29. 8. 單迴路及双迴路寬頻帶放大器的放大能力的比較 .....	381
<b>第七部分 超高頻放大器</b>	
<b>第三十章 超音頻放大管的輸入導納 .....</b>	<b>385</b>
30. 1. 引言 .....	385
30. 2. 在超高頻的波段內电子的惰性对电子管輸入導納的影响 .....	385
30. 3. 樞極电路中的感应电流的数值 .....	388
30. 4. 对流电流 .....	389
30. 5. 由电子的惰性所引起的电子管的輸入導納的数值 .....	393

30.6. 電極引入綫圈對電子管的輸入導納的影響 .....	397
30.7. 電子管輸入導納數值的計算 .....	398
<b>第三十一章 超高頻的放大 .....</b>	<b>400</b>
31.1. 引言 .....	400
31.2. 放大器的極限頻率 .....	400
31.3. 在超高頻放大器中應用諧振迴路作為匹配元件 .....	402
31.4. 計算例題 .....	403
31.5. 具有串聯電感的放大器的線路圖 .....	404
31.6. 推挽的高頻放大線路圖 .....	407
<b>第三十二章 檢極接地三極管放大器 .....</b>	<b>409</b>
32.1. 引言 .....	409
32.2. 檢極接地放大器的等效線路圖 .....	409
32.3. 輸入導納 .....	410
32.4. 檢極接地放大級的放大性能 .....	412
32.5. 放大器的串接 .....	413
<b>第八部分 回路線圈的設計</b>	
<b>第三十三章 接收機的回路線圈 .....</b>	<b>417</b>
33.1. 引言 .....	417
33.2. 互感量 .....	419
33.3. 線圈的互感量 .....	422
33.4. 線圈間的耦合系數 .....	427
33.5. 線圈的固有分布電容 .....	429
33.6. 線圈導線中的損耗 .....	432
33.7. 代表趨膚效應的損耗電阻 .....	433
33.8. 單層線圈的銅耗電阻 .....	434
33.9. 線圈中的介質損耗 .....	442
33.10. 單層線圈的相似定理 .....	443
33.11. 回路的總損耗 .....	443
<b>第三十四章 回路的屏蔽 .....</b>	<b>446</b>
34.1. 引言 .....	446
34.2. 問題的提出 .....	446
34.3. 屏蔽對電感量的影響 .....	447
34.4. 屏蔽中的線圈的電感量的計算公式 .....	448
34.5. 屏蔽中的多層線圈的電感量的計算 .....	449
34.6. 屏蔽對線圈的損耗電阻的直接影響 .....	449
34.7. 屏蔽對線圈導線中的總損耗的影響 .....	450
34.8. 屏蔽直徑與線圈直徑間的最佳的比例 .....	453
34.9. 具有給定電感量和衰減數值的屏蔽線圈的設計 .....	454
<b>參考書目 .....</b>	<b>457</b>

## 第五部分 沒有反饋的和 有反饋的諧振放大器

### 第十九章 放大電子管

#### 19.1. 引言

電子管是接收設備中的基本元件。電子管與振蕩迴路、電阻、電容及電感等配合起來，可以構成無線電接收設備中的任何一級。在每一級中，電子管都起着決定性的作用。放大是電子管最重要的用途之一。這一部分——第五部分是論述放大設備的，由於上述原因，我們在開始這部分時，先研究一些有關電子管的基本論點。研究在超高頻波段內電子管的工作時（第三十章）我們也必須以本章中的材料作為依據，這也使我們必需先來研究一下電子管的問題。

本章中將要導出能表明電子管工作的一些基本關係式，而且要特別注意確定電子管的結構數據與其電參數之間的關係。這樣就能更有根據地來處理對放大管的要求的問題。我們先由二極管這種最簡單的電子管開始，然后再來研究構造比較複雜的電子管。

#### 19.2. 基本關係式的推演

以後有關平行平板結構的電子管的所有分析都將以下列關係式作為根據，這些關係式在一般課程中已經知道：

$$\mathbf{i} = \rho \frac{dx}{dt} + \epsilon \frac{d\mathbf{E}}{dt}, \quad (19.1)$$

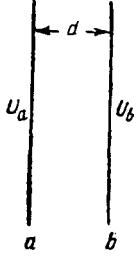
$$\mathbf{F} = e\mathbf{E} = km \frac{d^2x}{dt^2}, \quad (19.2)$$

$$\operatorname{div} \epsilon \mathbf{E} = \rho. \quad (19.3)$$

为了便于叙述，我們在这里以及本章以后各部分中都將利用实用單位系統。

第一个方程式利用对流电流  $\rho \frac{dx}{dt}$  及位移电流  $\varepsilon \frac{d\mathbf{E}}{dt}$  来决定全电流密度  $\mathbf{i}$ 。第二个方程式相当于牛頓定律，它給出了加速度  $\frac{d^2x}{dt^2}$  与作用在質量为  $m$  的电子上的机械力  $\mathbf{F}$  之間的关系。最后，第三个方程式是普阿松方程式。

我們把这些关系式利用在由距离为  $d$  的  $ab$  兩平面構成的系統中，并且認為電場  $\mathbf{E}$  与这兩平面相垂直(圖 19.1)。



这样，(19.3)就成为

$$\varepsilon \frac{\partial \mathbf{E}}{\partial x} = \rho. \quad (19.3')$$

將(19.3')代入(19.1)，得出全电流的式子如下：

$$\mathbf{i} = \varepsilon \left[ \frac{\partial \mathbf{E}}{\partial x} \cdot \frac{dx}{dt} + \frac{\partial \mathbf{E}}{\partial t} \right] = \varepsilon \frac{d\mathbf{E}}{dt}. \quad (19.4)$$

圖 19.1. 在平板式二極管上作用的电压。

$$\text{其中 } \frac{d\mathbf{E}}{dt} = \frac{\partial \mathbf{E}}{\partial x} \cdot \frac{dx}{dt} + \frac{\partial \mathbf{E}}{\partial t}$$

是電場强度  $\mathbf{E}$  的全微分，因为電場强度既是時間  $t$  的函数，又是距离  $x$  的函数。

根据(19.4)及(19.2)，可以写出<sup>[55,58]</sup>

$$\frac{e}{km\varepsilon} \mathbf{i} = \frac{d^3x}{dt^3}. \quad (19.5)$$

此处所有数值都是用实用單位系統表示的：

$i$  是全电流密度，每平方厘米的安培数；

$e/m$  是电子的电荷与質量的比值，等于每克  $1.77 \times 10^8$  庫倫；

$k = 10^{-7}$  是一比例系数，等于每厘米达因与焦耳的比值；

$\varepsilon$  是真空的介質常数，在实用單位系統中等于  $\frac{1}{36\pi \cdot 10^{11}} = 8.85 \times 10^{-14}$ 。

上面所得到的很重要的关系式指出：全电流完全取决于电子的加速度的增加率。应该指出，根据全电流的定义，在任一时刻，平面  $a$  处的电流密度  $i$  将完全等于同一时刻穿过平面  $b$  的全电流密度，因为全电流是位移电流和传导电流的总和。

### 19.3. 电子的加速度、速度与位置

利用方程式(19.5)，就可找出表示电子在所研究的两平面间的空间里运动的基本量。

我们认为，与电流成比例的数值  $\frac{e}{km\varepsilon}i$  是由直流分量及交流分量所组成的

$$\frac{e}{km\varepsilon}i = I_0 + I_1 e^{j\omega t},$$

于是  $\frac{d^3x}{dt^3} = \frac{e}{km\varepsilon}i = I_0 + I_1 e^{j\omega t}.$  (19.6)

将这方程式在  $t_0$  至  $t_1$  的极限内积分，即可求出距离发射平面  $a$  为  $x$  的地方，在电子由放射平面飞出  $\tau = (t - t_0)$  秒后该电子的加速度

$$\frac{d^2x}{dt^2} = I_0(t - t_0) + \frac{I_1}{j\omega}(e^{j\omega t} - e^{j\omega t_0}) + \ddot{x}_0. \quad (19.7)$$

这里  $\ddot{x}_0$  是在  $t_0$  时电子的加速度。再将(19.7)式积分，即可确定在时刻  $t$  时电子的运动速度

$$\begin{aligned} \frac{dx}{dt} &= \frac{I_0}{2}(t - t_0)^2 + \frac{I_1}{(j\omega)^2}\{e^{j\omega t} - e^{j\omega t_0} - j\omega(t - t_0)e^{j\omega t_0}\} + \dot{x}_0(t - t_0) + \dot{x}_0 = \\ &= \frac{I_0}{2}\tau^2 + \frac{I_1}{(j\omega)^2}\{e^{j\omega t} - e^{j\omega t_0} - j\omega\tau e^{j\omega t_0}\} + \dot{x}_0\tau + \dot{x}_0. \end{aligned} \quad (19.8)$$

最后，再积分一次，求出在时间  $t_0$  由平面  $a$  飞出的初速  $\dot{x}_0$  的电子的位置。

$$x = \frac{I_0}{6}\tau^3 + \frac{I_1}{(j\omega)^3}\left\{e^{j\omega t} - e^{j\omega t_0} - j\omega\tau e^{j\omega t_0} - \frac{(j\omega)^2}{2}\tau^2 e^{j\omega t_0}\right\} + \frac{\dot{x}_0}{2}\tau^2 + \dot{x}_0\tau. \quad (19.9)$$

上面得出的这些确定电子的加速度、速度与位置的表示式都是飞渡時間  $\tau$ 、初速度  $\dot{x}_0$  及初加速度  $\ddot{x}_0$  的函数。談到电子的速度与加速度时，我們應注意到，如果將平面  $a$  看作陰極的平面，那就要記住，不是所有的电子的速度和加速度都会一样的。电子速度的分配是按照近于馬克斯威的分配律的。大部分电子的速度將与平均速度相差很少，但是同时也有一些速度很大的电子和一些速度很小的电子。

計算实际的速度分配的任务是非常复杂的。因此以后談到电子的速度与加速度时，如果不特別說明，我們指的就是速度的平均值。并且，記住我們所作的假定的性質是有好处的。本章推演出的关系式在第三十章中还要再加研究。

#### 19.4. 恒定电場时的方程式

首先看一个最簡單的情况，即沒有交变电压时的情况，电子管中仅有一恒定电場作用着。

根据(19.7), (19.8)及(19.9)各式，我們可以写出

$$\left| \frac{d^2x}{dt^2} \right|_0 = I_0 \tau_0 + \ddot{x}_0; \quad (19.10)$$

$$\left| \frac{dx}{dt} \right|_0 = \frac{I_0}{2} \tau_0^2 + \ddot{x}_0 \tau_0 + \dot{x}_0; \quad (19.11)$$

$$|x|_0 = \frac{I_0}{6} \tau_0^3 + \frac{\ddot{x}_0}{2} \tau_0^2 + \dot{x}_0 \tau_0. \quad (19.12)$$

在仅有恒定电場存在时，除开这些确定电子加速度、速度与位置的方程式外，我們还可以加上决定电位差的方程式。

如果用  $U_a$  表示  $a$  点的电位，用  $U_b$  表示  $b$  点的电位，则我們可以借作用于平面間的电場强度  $E$  来表示电位差：

$$U_b - U_a = \int_a^b E dx, \quad (19.13)$$

但根据(19.2)及(19.10),

$$E = \frac{km}{e} \cdot \frac{d^2x}{dt^2} = \frac{km}{e} (I_0\tau_0 + \ddot{x}_0). \quad (19.14)$$

根据(19.11),微分  $dx$  将为

$$dx = \left[ \frac{I_0\tau_0^2}{2} + \ddot{x}_0\tau_0 + \dot{x}_0 \right] dt_0. \quad (19.15)$$

根据后兩式,我們可將电位差的关系式改写如下

$$\begin{aligned} \frac{e}{km} (U_b - U_a) &= \int_0^{\tau_0} (I_0\tau_0 + \ddot{x}_0) \left( \frac{I_0\tau_0^2}{2} + \ddot{x}_0\tau_0 + \dot{x}_0 \right) d\tau_0 = \\ &= \frac{I_0^2\tau_0^4}{8} + \frac{I_0\ddot{x}_0\tau_0^3}{2} + \left( \frac{I_0}{2}\dot{x}_0 + \frac{x_0^2}{2} \right) \tau_0^2 + \ddot{x}_0\dot{x}_0\tau_0. \end{aligned} \quad (19.16)$$

### 19.5. 电子在二極管中的飞越时间

上面得出的方程式可以用来計算电子只受恒定电場作用时的飞越时间  $\tau_0$ , 及直流电流成分  $i_0$ 。我們这里不多研究一般的解, 因为即使要求一般的解的近似值也是非常繁复的, 我們这里只限于討論这样一个極重要的个别情况, 就是空間电荷饱和的情况。如果在电子管里面有空間电荷, 則陰極附近的电位就降低到这种程度, 以至陰極放射出来的大部电子或者返回到陰極, 或者留在空間电荷層中。在距陰極不远的地方有个电位最低的区域。在这些条件下, 电子由空間电荷層以極近于零的速度和加速度向板極运动。因此, 可以把最低电位面看作是以極小的初速度和小的初加速度放射电子的平面。根据以上所述, 我們可以在方程式(19.10)、(19.11)及(19.16)中略去含有  $\dot{x}_0$  及  $\ddot{x}_0$  的各項。这时各式就大大地簡化了。

和以前一样, 假設是平板电極, 根据(19.10)、(19.11)、(19.12)及(19.16), 得

$$\left| \frac{d^2x}{dt^2} \right|_0 = I_0\tau_0; \quad \left| \frac{dx}{dt} \right|_0 = \frac{I_0}{2}\tau_0^2; \quad |x|_0 = \frac{I_0}{6}\tau_0^3; \quad (19.17)$$

$$U_b - U_a = \frac{km}{e} \cdot \frac{I_0^2 \tau_0^4}{8}. \quad (19.18)$$

將由(19.17)得出的电流  $I_0$  的式子代入电位差的表示式中，我們得到

$$\tau_0 = x \sqrt{\frac{9}{2} \frac{km}{e}} \cdot \frac{1}{(U_b - U_a)^{1/4}},$$

再考慮到  $k = 10^{-7}$ ，而  $\frac{e}{m} = 1.77 \times 10^{-8}$  庫侖/克，即可得出

$$\tau_0 = 5 \times 10^{-8} \frac{d_{ak}}{(U_b - U_a)^{1/4}}. \quad (19.19)$$

这里得到的关系式就是当有空間电荷存在时平板二極管中电子飞渡時間的著名式子。其中  $d_{ak} = x$  是二極管的陰極与板極間的距离，以厘米来表示。

現在来看另一种正好相反的完全沒有空間电荷的情况。在电流  $I_0$  很小时沒有空間电荷存在是可能的。如果在方程式(19.10)(19.12)及(19.16)中令  $I_0 = 0$  及  $x_0 = 0$ ，就可求出在这种情况下电子的飞渡时间。

解方程式求  $\tau_0$ ，得

$$\tau_0 = \frac{2}{3} \times 5 \times 10^{-8} \frac{d_{ak}}{(U_b - U_a)^{1/4}}. \quad (19.20)$$

这样，当陰極与板極間的电子数量小时，飞渡時間將为饱和空間电荷情况时的  $\frac{1}{1.5}$ 。

## 19.6. 二極管的板極电流及其特性

### 曲線的斜率(二極管的互导)

現在我們來确定有空間电荷时直流电流分量的表示式。利用式(19.17)及(19.18)，得

$$I_0 = \frac{8e}{mk} \cdot \frac{1}{6x} \cdot \frac{1}{\tau_0} (U_b - U_a).$$

將  $\tau_0$  用它的式子(19.19)代入，得

$$I_0 = \frac{8e \cdot 10^8}{30km} \frac{(U_b - U_a)^{3/2}}{x^2}.$$

$I_0$  值并不等于直流电流分量  $i_0$ , 而仅与之成比例, 如式(19.6)所示

$$i_0 = I_0 \frac{km\varepsilon}{e} = \frac{8\varepsilon}{30} \cdot 10^8 \frac{(U_b - U_a)^{3/2}}{x^2}. \quad (19.21)$$

这样, 根据(19.21); 令  $U = U_b - U_a$ , 并将  $\varepsilon$  的值用实用单位系統計算, 得

$$i_0 = 2.33 \times 10^{-6} \frac{U^{3/2}}{d_{ak}^2}, \quad (19.22)$$

在所得到的式子中,  $U$  用伏来表示, 阴極与板極間的距离  $d_{ak}$  用厘米表示, 而  $i_0$  为每平方厘米表面的电流值, 以安培表示。

应注意, 我們可以利用基本方程式來研究比上面所得到的方程式更为一般的情况。但是, 这里不准备去作, 以后我們再来討論求电子运动的方程式的根本关系式。

可以證明, 在圓柱形电極时, 电流的式子將变成

$$i_0 = 2.33 \times 10^{-6} \frac{Q_a}{r_a^2 \beta_a^2} U^{3/2}. \quad (19.23)$$

其中  $r_a$  是半徑,  $Q_a = 2\pi r_a l_a$  是板極的面积, 而  $\beta_a = \varphi\left(\frac{r_a}{r_k}\right)$  是与板極半徑和陰極半徑之比有关的参数。  $\beta_a^2$  的曲線見圖 19.2。当  $\frac{r_a}{r_k} > 10$  时;  $\beta_a^2 \approx 1$ 。

我們把电流对电压的一次微分  $S = \frac{di_0}{dU}$  称为二極管在工作点的互导, 其中  $U = U_b - U_a$ 。

根据(19.23), 得

$$S = 3.5 \times 10^{-6} \frac{Q_a}{r_a^2 \beta_a^2} U^{1/2}, \quad (19.24)$$

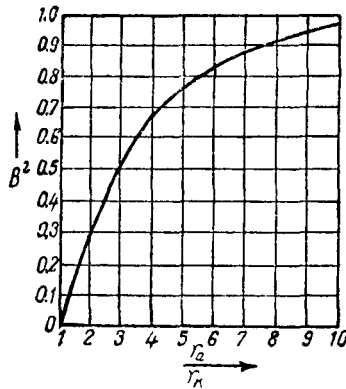


圖 19.2. 系数  $\beta_a^2$  的曲線。

或

$$S = 2.2 \times 10^{-5} \frac{l_a}{r_a \beta_a^2} U^{1.2}. \quad (19.25)$$

这样，当板極的長度  $l_a$  增加，板極的半徑  $r_a$  減小和板極與陰極之間的距離減小時，圓柱形二極管的互導將增加（見圖 19.2 的曲線）。注意到  $l_a$  是板極的有效長度。當燈絲電流增加時，“有效長度”將增加，因為當燈絲電流小時，其兩端的放射不大。

在圓柱形二極管的情況下，電子的飛越時間可由下式決定

$$\tau_0 = 17.3 \times 10^{-9} \gamma \frac{r_a}{U_a^{1.8}}. \quad (19.26)$$

式中  $\gamma = \varphi\left(\frac{r_a}{r_L}\right)$  值可借曲線查出。

### 19.7. 三極管的電參數與其結構數據的關係

如果用一等效二極管來代替三極管，就可以利用上面所得到的二極管的結果。

先來確定等效的條件。當柵極電壓  $u_g$  及板極電壓  $u_a$  同時作用時，控制電壓將等於  $u_z$ 。由滲透系數  $D$  的定義可知，板極電壓  $u_a$  在陰極附近造成的靜電場強度將和柵極上等於  $Du_a$  的電壓所造成的電場強度一樣。這樣一來，控制電壓將與  $u_g + Du_a$  成比例

$$u_z = \kappa(u_g + Du_a) = \kappa\left(u_g + \frac{u_a}{\mu}\right). \quad (19.27)$$

在引入  $u_z$  時，我們認為由這個數值所確定的等效二極管的電流與三極管中電壓  $u_g$  與  $u_a$  同時作用時相同。引入比例系數  $\kappa$  是必需的，因為我們把三極管的柵極視為等效二極管的板極，同時又利用相當於實體板極的式子來計算等效二極管。柵極極密時， $\kappa = 1$ 。一般情況下， $\kappa$  值可以這樣來考慮。陰極的放射電流將由作用於其表面的靜電場決定。這個電場又將與在陰極上感應出的電荷量成正比。

如果陰極的電位等於零，而三極管柵極與板極的電位分別等於  $u_g$

及  $u_a$ , 则在有极间电容  $C_{gk}$  及  $C_{ak}$  存在时, 阴极上感应出的电荷将由下式决定

$$q = C_{gk}u_g + C_{ak}u_a. \quad (19.28)$$

另一方面, 如果板极电位等于零(板极与阴极相联结), 而在栅极上有电压  $\left(u_g + \frac{u_a}{\mu}\right)$  作用着, 则

$$q = C_{gk} \left( u_g + \frac{1}{\mu} u_a \right). \quad (19.29)$$

令上两式相等, 即得

$$\mu = \frac{C_{gk}}{C_{ak}}. \quad (19.30)$$

设想一个有实体板极的二极管, 板极电位为  $\kappa u_g$ , 则

$$q = C_o u_x, \quad (19.31)$$

其中  $C_o$ —二极管的电容。

现在回到三极管的关系式(19.28), 我们见到, 如果  $u_a = u_g$ , 则栅极与阴极间的电场就不会与将栅极换为实体电极时的电场有显著的差别。在这种情况下, 我们就可以令(19.28)与(19.31)相等, 而  $u_x = u_g$ 。这样一来, 等效二极管的电容

$$C_o = C_{gk} + C_{ak}. \quad (19.32)$$

由(19.31)及(19.29)得:

$$C_o u_x = C_o \kappa \left( u_g + \frac{u_a}{\mu} \right) = C_{gk} \left( u_g + \frac{u_a}{\mu} \right),$$

$$\kappa = \frac{C_{gk}}{C_o} = \frac{C_{gk}}{C_{gk} + C_{ak}} = \frac{\mu}{\mu + 1}.$$

因此,

$$\kappa = \frac{\mu}{\mu + 1}. \quad (19.33)$$

$\mu$  相当大时,  $\kappa = 1$ 。

根据(19.33), 方程式(19.27)又可写成

$$u_x = \frac{\mu}{\mu + 1} \left[ u_g + \frac{u_a}{\mu} \right] = \frac{\mu u_g + u_a}{\mu + 1}. \quad (19.34)$$

考慮到上面談過的在圓柱形電極的情況下陰極電路中的電流  $i_k = i_a + i_g$  可根據(19.23)寫為

$$i_k = 2.33 \times 10^{-6} \frac{Q_{a9}}{r_g^2 \beta^2} \left[ \frac{\mu u_g + u_a}{\mu + 1} \right]^{3/2}. \quad (19.35)$$

其中  $Q_{a9} = 2\pi r_g l_g$  是等效二極管的板極面積，也就是柵極的實際側面積，而

$$\beta = \varphi \left( \frac{r_a}{r_k} \right).$$

$\beta$  的數值和以前一樣，可由曲線查出（圖 19.2）。

柵極電流數值小時， $i_k = i_a$ ，這是高頻各級常見的現象。這時

$$i_a = 2.33 \times 10^{-6} \frac{Q_{a9}}{r_g^2 \beta^2} \left[ \frac{\mu u_g + n_a}{\mu + 1} \right]^{3/2}. \quad (19.36)$$

現在來討論三極管的參數，由互導  $S$  開始，

$$S = \frac{di_a}{du_g} = \frac{3}{2} \times 2.33 \times 10^{-6} \frac{Q_{a9} \cdot \mu}{r_g^2 \beta^2} \frac{(\mu u_g + u_a)^{1/2}}{(\mu + 1)^{3/2}}, \quad (19.37)$$

或  $S = 3.5 \times 10^{-6} \frac{Q_{a9} \cdot \mu}{r_g^2 \beta^2} \frac{\mu(u_g + u_a)^{1/2}}{(\mu + 1)^{3/2}}.$  (19.38)

當  $\mu \gg 1$ ，且電子管板極電路中的負荷阻抗又比  $R_i$  要小，則對  $S$  來說有下列簡化表示式：

$$S \approx 3.5 \times 10^{-6} \frac{Q_{a9}}{r_g^2 \beta^2} u_g^{1/2}, \quad (19.39)$$

也就是在選定的工作狀態下

$$S \equiv \frac{Q_{a9}}{r_g^2 \beta^2}. \quad (19.40)$$

這樣，在三極管的情況下，互導與電子管構造數據的關係與在二極管時性質相同，其不同點只在於這裡有決定性意義的是柵極的結構尺寸。由於  $Q_{a9} = 2\pi r_g l_g$ ，所以  $S$  將隨柵極長度  $l_g$  和其半徑  $r_g$  之比成比例地增加，此外，當柵極與陰極間距離減小時， $S$  也增加

$$S \equiv \frac{l_g}{r_g} \left[ \frac{1}{\beta \left( \frac{r_g}{r_k} \right)} \right]. \quad (19.41)$$

电子管的放大系数  $\mu$  与結構数据的关系要更复杂一些。 $\mu$  的数值, 可以根据在陰極表面附近造成相同的靜電場变化的板極电位的变化  $\Delta U_a$  及柵極电位的变化  $\Delta U_g$ , 計算求出。由放大系数的定义得出,  $\mu$  等于  $\Delta U_a$  与  $\Delta U_g$  之比。解决这个靜電的問題时可以不考慮空間电荷的影响, 因为当  $U_a$  大时, 靠近陰極的空間电荷將使由柵極电荷所引起的电場和由板極电荷所引起的电場發生同样程度的畸变。在这些条件下, 研究陰極未燒热时靜電場的性質, 就可以确定  $\mu$  的数值。这一类題目常利用保角繪圖法来解决。

柵極充有負电荷时电場的真实情况是相当复杂的。对电子的运动軌迹的研究指出, 电子流經過柵極的線匝时变窄了, 电子并不射到全部板極表面上, 而只射在它的一部分地方。

如果將一切情况考慮在內, 計算起来就太复杂了, 因此研究这个問題的人都作了各种不同的簡化。因之得出的計算  $\mu$  的公式就有不同程度的准确性。

求  $\mu$  的最簡單的公式就是当柵極导綫半徑  $\rho$  与导綫間距离比起来很小的情况下导出的公式。

在平板电極的情况下有下列关系:

$$\mu = \frac{2\pi n d_{ga}}{\ln\left(\frac{1}{2\pi n \rho}\right)}. \quad (19.42)$$

对于圓柱形电極,

$$\mu = \frac{2\pi n d_{ga} \cdot \frac{r_g}{r_a}}{\ln\left(\frac{1}{2\pi n \rho}\right)}. \quad (19.43)$$

在这些关系式中,  $d_{ga}$  是柵極与陰極間的距离, 而  $n$  是單位長度內的柵極导綫数量。

現在我們再举出更准确的不受上述限制的公式。这些公式列在下面: